

Г. М. Зінченко, Л. В. Музичка, І. І. Білецький, О. Б. Смолій

Інститут біоорганічної хімії та нафтохімії НАН України
02660, м. Київ, вул. Мурманська, 1. E-mail: Smolii@bpci.kiev.ua

Вивчення взаємодії 4,6-дихлоропіримідин-5-карбальдегіду з естерами гліцину

Мета роботи – дослідження реакції 4,6-дихлоропіримідин-5-карбальдегіду з метил- та *трет*-бутилгліцинатами з метою виявлення особливостей взаємодії в залежності від умов реакції.

Результати та їх обговорення. Встановлено, що реакція 4,6-дихлоро-5-формілпіримідину з гідрохлоридами естерів гліцину в присутності триетиламіну приводить до одержання похідних *N*-(5-формілпіримідин-4-іл)гліцинату та продуктів циклізації – піроло[2,3-*d*]піримідину та піридо[2,3-*d*]піримідину.

Експериментальна частина. 4,6-Дихлоропіримідин-5-карбальдегід реагує з метил- і *трет*-бутилгліцинатами в метанолі в присутності триетиламіну в залежності від мольного співвідношення реагентів з утворенням суміші похідних *N*-(5-формілпіримідин-4-іл)гліцинату, 5-гідрокси-6,7-дигідро-5*H*-піроло[2,3-*d*]піримідину та 6-аміно-4-хлоро-7-оксопіридо[2,3-*d*]піримідин-8(7*H*-іл)ацетату, структура та склад яких доведені з використанням методів ЯМР-спектроскопії, хроматомас-спектрометрії та елементного аналізу.

Висновки. Реакцією 4,6-дихлоро-5-формілпіримідину з метил- та *трет*-бутилгліцинатами синтезовані невідомі раніше похідні піроло[2,3-*d*]піримідину та піридо[2,3-*d*]піримідину, виявлені особливості взаємодії в залежності від співвідношення реагентів реакції, а також показані перспективи отримання ряду потенційних біоактивних сполук з 6-аміно-4-хлоро-7-оксопіридо[2,3-*d*]піримідин-8(7*H*-іл)ацетату.

Ключові слова: 4,6-дихлоропіримідин-5-карбальдегід; піридо[2,3-*d*]піримідин-7-они; піроло[2,3-*d*]піримідини; циклізація

H. M. Zinchenko, L. V. Muzychka, I. I. Biletskiy, O. B. Smolii

The study of the interaction of 4,6-dichloropyrimidine-5-carbaldehyde with glycine esters

Aim. To study the interaction of 4,6-dichloropyrimidine-5-carbaldehyde with methyl- and with *tert*-butylglycinate depending on the reaction conditions.

Results and discussion. It has been found that the reaction of 4,6-dichloro-5-formylpyrimidine with hydrochlorides of glycine esters in the presence of triethylamine leads to obtaining derivatives of *N*-(5-formylpyrimidin-4-yl)glycinate and cyclization products: pyrrolo[2,3-*d*]pyrimidine and pyrido[2,3-*d*]pyrimidine.

Experimental part. The interaction of 4,6-dichloropyrimidine-5-carbaldehyde with methyl or *tert*-butyl glycinate in methanol in the presence of triethylamine depending on the molar ratio gives the mixture of 5-hydroxy-6,7-dihydro-5*H*-pyrrolo[2,3-*d*]pyrimidine and 6-amino-4-chloro-7-oxopyrido[2,3-*d*]pyrimidine-8(7*H*-yl)acetate. The composition and structure of the compounds synthesized have been confirmed by NMR-spectroscopy, chromatography mass-spectrometry and elemental analysis.

Conclusions. The previously unknown derivatives of pyrrolo[2,3-*d*]pyrimidine and pyrido[2,3-*d*]pyrimidine have been obtained as a result of the interaction of 4,6-dichloro-5-formylpyrimidine with methyl and *tert*-butylglycinate. The reaction features depending on the reactants ratio have been studied. The prospects for the synthesis of potential biologically active compounds from 6-amino-4-chloro-7-oxopyrido[2,3-*d*]pyrimidine-8(7*H*-yl)acetate have been described.

Key words: 4,6-dichloropyrimidine-5-carbaldehyde; pyrido[2,3-*d*]pyrimidin-7-one; pyrrolo[2,3-*d*]pyrimidines; cyclization

A. H. Зинченко, Л. В. Музычка, И. И. Билецкий, О. Б. Смолий

Изучение взаимодействия 4,6-дихлорпириимидин-5-карбальдегида с эфирами глицина

Цель работы – исследование реакции 4,6-дихлорпириимидин-5-карбальдегида с метил- и *трет*-бутилглицинатами с целью выявления особенностей взаимодействия в зависимости от условий реакции.

Результаты и их обсуждения. Установлено, что реакция 4,6-дихлор-5-формилпириимидина с гидрохлоридами эфиров глицина в присутствии триэтиламина приводит к получению производных *N*-(5-формилпириимидин-4-ил)глицината и продуктов циклизации – пирроло[2,3-*d*]пириимидина и пиридо[2,3-*d*]пириимидина.

Экспериментальная часть. 4,6-Дихлорпириимидин-5-карбальдегид реагирует с метил- и *трет*-бутилглицинатами в метаноле в присутствии триэтиламина в зависимости от мольного соотношения реагентов с образованием смеси производных *N*-(5-формилпириимидин-4-ил)глицината, 5-гидрокси-6,7-дигидро-5*H*-пирроло[2,3-*d*]пириимидина и 6-аміно-4-хлор-7-оксопіридо[2,3-*d*]піриимідин-8(7*H*-іл)ацетата, строение и состав которых доказано с использованием методов ЯМР спектроскопии, хроматомасс-спектрометрии и элементного анализа.

Выводы. Реакцией 4,6-дихлор-5-формилпириимидина с метил- и *трет*-бутилглицинатами синтезованы неизвестные ранее производные пирроло[2,3-*d*]пириимидина и пиридо[2,3-*d*]пириимидина, выявлены особенности взаимодействия в зависимости от соотношения реагентов реакции, а также показаны перспективы получения ряда потенциальных биоактивных соединений с 6-аміно-4-хлор-7-оксопіридо[2,3-*d*]піриимідин-8(7*H*-іл)ацетата.

Ключевые слова: 4,6-дихлорпириимидин-5-карбальдегид; пиридо[2,3-*d*]пириимидин-7-оны; пирроло[2,3-*d*]пириимидины; циклизация

Відомо, що 4,6-дихлоропіримідин-5-карбальдегід є зручним субстратом для синтезу різноманітних конденсованих систем. Наявність альдегідної групи та рухливого атома хлору в піримідиновому циклі відкриває широкі можливості для конструювання біциклічних молекул. В останні роки синтетичне застосування 4,6-дихлоропіримідин-5-карбальдегіду описано в багатьох статтях для отримання похідних піразоло[3,4-*d*]піримідину [1-4], тієно[2,3-*d*]піримідину [5], піроло[2,3-*d*]піримідину [6, 7], піримідо[4,5-*d*]піримідину [8], піримідо[4,5-*b*]азепіну [9]. Варто зазначити, що на основі 4,6-дихлоро-5-формілпіримідину в нашій лабораторії синтезовано ряд невідомих раніше функціонізованих піроло[2,3-*d*]піримідинів [10] та піридо[2,3-*d*]піримідинів [11]. Для їх синтезу нами була використана реакція внутрішньомолекулярної циклізації заміщених похідних 4-хлоропіримідин-5-карбальдегіду. Однак взаємодія 4,6-дихлоро-5-формілпіримідину з естерами гліцину перебігала з невисокими виходами описаних продуктів реакції. Враховуючи цей факт, предметом даного повідомлення було дослідження реакції 4,6-дихлоропіримідин-5-карбальдегіду з метил- та *трет*-бутилгліцинатами, виявлення особливостей взаємодії в залежності від умов реакції.

Дослідження показало, що реакція 4,6-дихлоро-5-формілпіримідину **1** з гідрохлоридами естерів гліцину в метанолі в присутності триетиламіну приводить до одержання суміші продуктів **2-5** (схема 1, таблиця).

Виявилось, що при мольному співвідношенні реагентів 1 : 1 реакція перебігає з утворенням

N-(6-хлоро-5-формілпіримідин-4-іл)гліцинатів **2a, b** та продуктів циклізації – 5-гідрокси-6,7-дигідро-5*H*-піроло[2,3-*d*]піримідинів **3a, b** у вигляді двох ізомерів, котрі вдалося розділити шляхом колонкової хроматографії.

Слід зазначити, що продукт заміщення хлору на залишок естеру гліцину описаний лише на прикладі етилгліцинату [12]. Сполука **3b** була одержана нещодавно, однак її фізико-хімічні характеристики не наведені [6]. При дослідженні взаємодії 4,6-дихлоропіримідин-5-карбальдегіду з метиловим естером гліцину неочікуваним виявився невідомий раніше 4-хлоропіридо[2,3-*d*]піримідин **4a**. Структура отриманої сполуки доведена з використанням методів ЯМР спектроскопії, хроматомаспектрометрії та елементного аналізу. Утворення піридо[2,3-*d*]піримідинового циклу підтверджується даними ЯМР ^1H та ^{13}C спектрів. Так, у спектрі ЯМР ^1H сигнал протону піридинового циклу проявляється у вигляді синглету при 6,80 м.ч., а сигнал NH_2 групи спостерігається при 6.46 м.ч. Особливістю спектра ЯМР ^{13}C є наявність сигналу атома С-5 при 97,4 м.ч.

Подальші дослідження реакції 4,6-дихлоро-5-формілпіримідину **1** з гідрохлоридами естерів гліцину показали, що вихід 6-аміно-4-хлоропіридо[2,3-*d*]піримідин-7-онів **4a, b** значно збільшується при мольному співвідношенні реагентів 1 : 2, а при співвідношенні 1 : 3 виходи досягають 45-46%. При цьому спостерігається зменшення кількості монозаміщених альдегідів **2a, b** та поява 4,6-дизаміщених похідних 5-формілпіримідину **5a, b**. Варто зауважити, що сполука **5a** згідно з даними

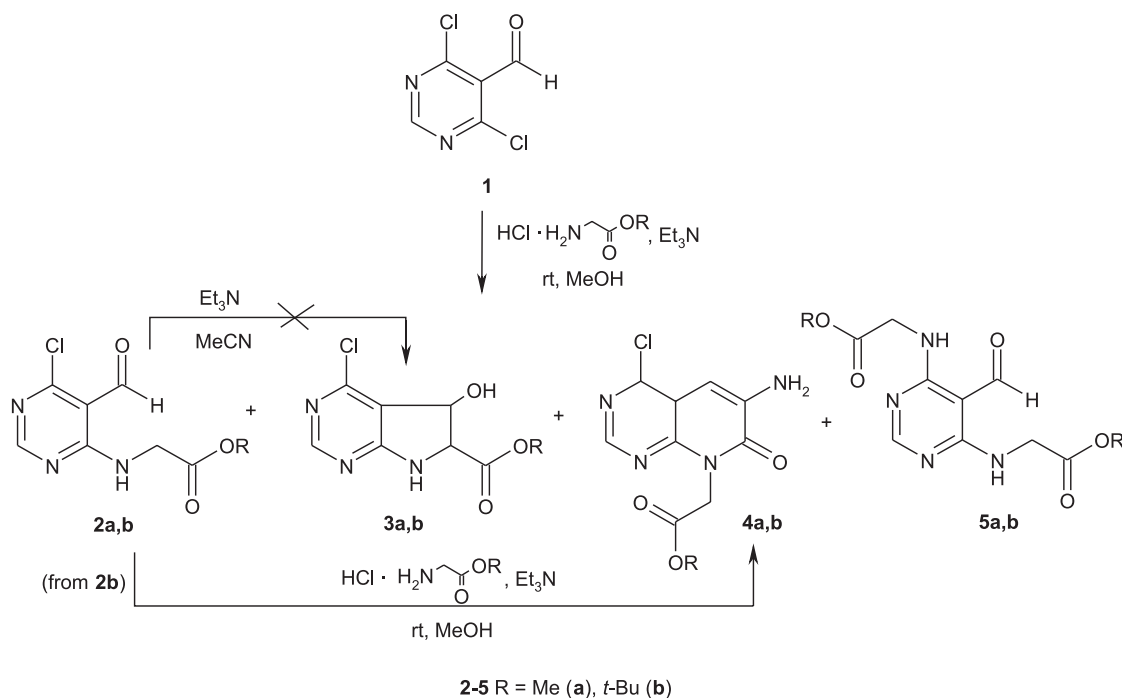
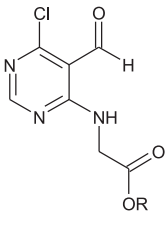
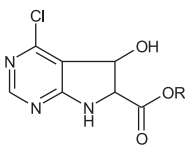
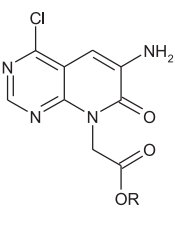
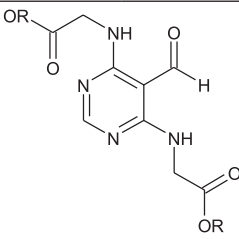


Схема 1

Таблиця

Виходи продуктів реакції в залежності від співвідношення реагентів

Мольне співвідношення реагентів	Вихід, %							
								
	2a	2b	3a	3b	4a	4b	5a	5b
1 : 1	40	33	38	55	5	-	-	-
1 : 2	11	17	22	12	36	38	2	13
1 : 3	-	-	15	11	45	46	4	24

хроматомас-спектра утворюється в слідових кількостях, тому не була виділена в індивідуальному вигляді.

Таким чином, в результаті взаємодії 4,6-дихлоро-5-формілпіримідину **1** з естерами гліцину в залежності від їх співвідношення утворюються як заміщені альдегіди **2a, b** та **5a, b**, так і продукти їх циклізації – похідні піроло[2,3-*d*]піримідину **3a, b** та піридо[2,3-*d*]піримідину **4a, b**. Такий перебіг перетворень, ймовірно, пов'язаний з наявністю рухливого атома хлору та реакційноздатної альдегідної групи. Слід зазначити, що подальша взаємодія 6-амінозаміщеного 4-хлоропіримідин-5-карбальдегіду **2b** з *трет*-бутилгліцинатом у метанолі в присутності триетиламіну приводить, очевидно, до продукту реакції Кньювенегеля, схильного до внутрішньомолекулярної циклізації з утворенням 6-аміно-4-хлоро-7-оксопіридо[2,3-*d*]піримідин-8(7*H*)-іл)ацетату **4b** (схема 1). В той же час тривале нагрівання **2b** в киплячому ацетонітрилі з надлишком триетиламіну протягом 5 діб не привело до піроло[2,3-*d*]піримідину **3b**.

Отримані похідні піридо[2,3-*d*]піримідину **4a, b** можуть бути перспективними синтонами для подальших цілеспрямованих синтезів потенційних біологічно активних речовин. Відомо, що заміщені піридо[2,3-*d*]піримідин-7-они є селективними інгібіторами EGFR кінази [13-16], циклінзалежної кінази (CDK4) [17-18] та PAK кінази [19]. Крім того, деякі піридо[2,3-*d*]піримідин-7-они виявились ефек-

тивними в лікуванні гепатиту С [20], діабету другого типу [21], а також проявили протипухлинну [22] і антипроліферативну [23] активність.

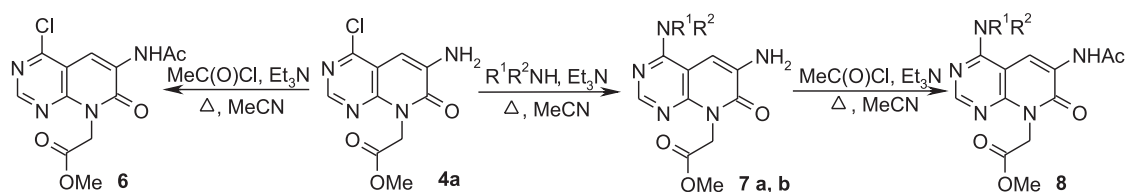
Наявність аміногрупи та атома хлору в сполуках **4a, b** відкриває можливості для синтезу ряду нових похідних піридо[2,3-*d*]піримідин-7-ону. На прикладі метил 6-аміно-4-хлоро-7-оксопіридо[2,3-*d*]піримідин-8(7*H*)-іл)ацетату **4a** продемонстровано, що за допомогою реакцій ацетилювання та нуклеофільного заміщення атома хлору з високими виходами можуть бути одержані заміщені піридо[2,3-*d*]піримідин-7(8*H*)-они **6-8** (схема 2).

Склад і будова синтезованих сполук підтверджені результатами елементного аналізу, а також даними хроматомас-спектрів та спектрів ЯМР ^1H (^{13}C).

Таким чином, реакцією 4,6-дихлоропіримідин-5-карбальдегіду з метил- та *трет*-бутилгліцинами отримані похідні піроло[2,3-*d*]піримідину та піридо[2,3-*d*]піримідину, виявлені особливості взаємодії в залежності від співвідношення реагентів реакції, а також розглянуті можливості подальших модифікацій невідомих раніше 6-аміно-4-хлоропіридо[2,3-*d*]піримідин-7-онів.

Експериментальна частина

Сpektри ЯМР ^1H (400 МГц) отримані на приладі Varian Unity plus 400, ЯМР ^{13}C (125 МГц) записані на Bruker Avance DRX 500 в розчині DMSO-*d*₆ чи CDCl₃. Хімічні зсуви наведені відносно ТМС (внутрішній стандарт). Хроматомас-спектри записані



$\text{R}^1\text{R}^2\text{N} = \text{MeNH}$ (**7a**); morpholin-4-yl (**7b**).

з використанням рідинної хроматомас-спектрометричної системи на високоефективному рідинному хроматографі Agilent 1100 Series, оснащеним діодною матрицею з мас-селективним детектором Agilent LC\MSD SL; метод іонізації – хімічна іонізація при атмосферному тиску (APCI), діапазон сканування – m/z 80-1000. Контроль за перебігом реакції здійснювався методом тонкошарової хроматографії на пластинках Silufol, UV-254.

Взаємодія 4,6-дихлоропіримідин-5-карбальдегіду 1 з естерами гліцину (загальна методика). До суміші 1 г (5,65 ммоль) альдегіду **1** і 5,65 ммоль (чи 11,30 ммоль, 16,95 ммоль) гідрохлориду естеру гліцину в 20 мл MeOH додали 11,30 ммоль (чи 16,95 ммоль, 22,60 ммоль) Et₃N. Реакційну масу перемішували при кімнатній температурі впродовж 5 год. Розчинник видаляли під вакуумом, залишок очищали хроматографічним розділенням на колонці із силікагелем (елюент CHCl₃ : MeOH 9 : 1) і перекристалізували з MeCN.

Метил *N*-(6-хлоро-5-формілпіримідин-4-іл)гліцинат (2a). Т. пл. – 121-123 °С. ЯМР ¹H (400 МГц, CDCl₃), δ, м. ч. (*J*, Гц): 3,79 с (3H, OCH₃), 4,35 д (2H, *J* = 5,2, CH₂), 8,43 с (1H, H-2), 9,46-9,51 м (1H, NH), 10,40 с (1H, CH=O). ЯМР ¹³C (125 МГц, CDCl₃), δ, м. ч.: 42,6 (CH₂), 52,4 (OCH₃), 108,6 (C), 161,0 (C), 161,1 (CH), 165,2 (C), 169,3 (C=O), 191,0 (CH=O). MS, m/z (*I*_{відн.}, %): 230 [M+H]⁺ (100). Знайдено, %: C 41,90; H 3,56; Cl 15,38; N 18,24. C₈H₈ClN₃O₃. Розраховано, %: C 41,85; H 3,51; Cl 15,44; N 18,30.

Трет-бутил *N*-(6-хлоро-5-формілпіримідин-4-іл)гліцинат (2b). Т. пл. – 137-139 °С. ЯМР ¹H (400 МГц, DMSO-*d*₆), δ, м. ч. (*J*, Гц): 1,40 с (9H, C(CH₃)₃), 4,20 д (2H, *J* = 5,6, CH₂), 8,48 с (1H, H-2), 9,39-9,45 м (1H, NH), 10,28 с (1H, CH=O). ЯМР ¹³C (125 МГц, DMSO-*d*₆), δ, м. ч.: 28,2 (3CH₃), 43,5 (CH₂), 81,8 (C(CH₃)₃), 108,1 (C), 160,9 (C), 161,1 (CH), 164,7 (C), 168,6 (C=O), 191,6 (CH=O). MS, m/z (*I*_{відн.}, %): 272 [M+H]⁺ (100). Знайдено, %: C 48,67; H 5,23; Cl 13,01; N 15,42. C₁₁H₁₄ClN₃O₃. Розраховано, %: C 48,63; H 5,19; Cl 13,05; N 15,47.

Цис-метил 4-хлоро-5-гідрокси-6,7-дигідро-5H-піроло[2,3-*d*]піримідин-6-карбоксилат (3a). Т. пл. – 215-217 °С (з розкл.). Спектр ЯМР ¹H (400 МГц, DMSO-*d*₆), δ, м. ч. (*J*, Гц): 3,69 с (3H, OCH₃), 4,60 д (1H, *J* = 8,4, CH), 5,34 т (1H, *J* = 8,4, CH), 6,22 д (1H, *J* = 5,6, OH), 8,21 с (1H, H-2), 8,38 с (1H, NH). ЯМР ¹³C (125 МГц, DMSO-*d*₆), δ, м. ч.: 51,7 (OCH₃), 63,1 (NHCH), 68,2 (CHON), 116,8 (C), 152,8 (C), 159,3 (CH), 167,8 (C), 168,9 (C=O). MS, m/z (*I*_{відн.}, %): 230 [M+H]⁺ (100). Знайдено, %: C 41,89; H 3,56; Cl 15,41; N 18,24. C₈H₈ClN₃O₃. Розраховано, %: C 41,85; H 3,51; Cl 15,44; N 18,30.

Транс-метил 4-хлоро-5-гідрокси-6,7-дигідро-5H-піроло[2,3-*d*]піримідин-6-карбоксилат (3a). Т. пл. – 154-156 °С (з розкл.). ЯМР ¹H (400 МГц, DMSO-*d*₆), δ, м. ч. (*J*, Гц): 3,70 с (3H, OCH₃), 4,23 с

(1H, CH), 5,13 д (1H, *J* = 7,2, CH), 6,37 д (1H, *J* = 5,6, OH), 8,25 с (1H, H-2), 8,58 с (1H, NH). ЯМР ¹³C (125 МГц, DMSO-*d*₆), δ, м. ч.: 52,6 (OCH₃), 66,5 (NHCH), 71,9 (CHON), 117,0 (C), 153,5 (C), 159,7 (CH), 168,1 (C), 171,4 (C=O). MS, m/z (*I*_{відн.}, %): 230 [M+H]⁺ (100). Знайдено, %: C 41,91; H 3,55; Cl 15,39; N 18,26. C₈H₈ClN₃O₃. Розраховано, %: C 41,85; H 3,51; Cl 15,44; N 18,30.

Цис-трет-бутил 4-хлоро-5-гідрокси-6,7-дигідро-5H-піроло[2,3-*d*]піримідин-6-карбоксилат (3b). Т. пл. – 194-196 °С (з розкл.). ЯМР ¹H (400 МГц, DMSO-*d*₆), δ, м. ч. (*J*, Гц): 1,44 с (9H, C(CH₃)₃), 4,42 д (1H, *J* = 7,6, CH), 5,29 т (1H, *J* = 7,6, CH), 6,24 д (1H, *J* = 7,6, OH), 8,18 с (1H, H-2), 8,33 с (1H, NH). ЯМР ¹H (400 МГц, DMSO-*d*₆ + D₂O), δ, м. ч. (*J*, Гц): 1,44 с (9H, C(CH₃)₃), 4,40 д (1H, *J* = 8,0, CH), 5,30 д (1H, *J* = 8,0, CH), 8,17 с (1H, H-2). ЯМР ¹³C (125 МГц, DMSO-*d*₆), δ, м. ч.: 28,2 (3CH₃), 63,7 (NHCH), 68,6 (CHON), 81,6 (C(CH₃)₃), 117,4 (C), 153,2 (C), 159,7 (CH), 168,0 (C), 168,2 (C=O). MS, m/z (*I*_{відн.}, %): 272 [M+H]⁺ (100). Знайдено, %: C 48,69; H 5,23; Cl 12,97; N 15,42. C₁₁H₁₄ClN₃O₃. Розраховано, %: C 48,63; H 5,19; Cl 13,05; N 15,47.

Транс-трет-бутил 4-хлоро-5-гідрокси-6,7-дигідро-5H-піроло[2,3-*d*]піримідин-6-карбоксилат (3b). Т. пл. – 153-155 °С (з розкл.). ЯМР ¹H (400 МГц, DMSO-*d*₆), δ, м. ч. (*J*, Гц): 1,43 с (9H, C(CH₃)₃), 4,08 с (1H, CH), 5,03 д (1H, *J* = 8,0, CH), 6,33 д (1H, *J* = 8,0, OH), 8,24 с (1H, H-2), 8,54 с (1H, NH). ЯМР ¹H (400 МГц, DMSO-*d*₆ + D₂O), δ, м. ч. (*J*, Гц): 1,38 с (9H, C(CH₃)₃), 4,08 д (1H, *J* = 1,6, CH), 5,02 д (1H, *J* = 1,6, CH), 8,19 с (1H, H-2). ЯМР ¹³C (125 МГц, DMSO-*d*₆), δ, м. ч.: 28,0 (3CH₃), 67,5 (NHCH), 71,7 (CHON), 82,3 (C(CH₃)₃), 116,9 (C), 153,5 (C), 159,9 (CH), 168,1 (C), 170,1 (C=O). MS, m/z (*I*_{відн.}, %): 272 [M+H]⁺ (100). Знайдено, %: C 48,67; H 5,24; Cl 12,99; N 15,43. C₁₁H₁₄ClN₃O₃. Розраховано, %: C 48,63; H 5,19; Cl 13,05; N 15,47.

Метил (6-аміно-4-хлоро-7-оксопіридо[2,3-*d*]піримідин-8(7H)-іл)ацетат (4a) [24]. Т. пл. – 192-194 °С. ЯМР ¹H (400 МГц, DMSO-*d*₆), δ, м. ч. (*J*, Гц): 3,65 с (3H, OCH₃), 5,15 с (2H, CH₂), 6,46 ш. с (2H, NH₂), 6,80 с (1H, H-5), 8,54 с (1H, H-2). ЯМР ¹³C (100 МГц, DMSO-*d*₆), δ, м. ч.: 43,2 (CH₂N), 52,7 (CH₃O), 97,4 (CH), 114,7 (C), 140,6 (C), 148,7 (C), 150,7 (CH), 153,3 (C), 158,5 (C=O), 176,5 (C=O). MS, m/z (*I*_{відн.}, %): 269 [M+H]⁺ (100). Знайдено, %: C 44,78; H 3,35; Cl 13,16; N 20,81. C₁₀H₉ClN₄O₃. Розраховано, %: C 44,71; H 3,38; Cl 13,20; N 20,85.

Трет-бутил (6-аміно-4-хлоро-7-оксопіридо[2,3-*d*]піримідин-8(7H)-іл)ацетат (4b). Т. пл. – 208-210 °С. Спектр ЯМР ¹H (400 МГц, DMSO-*d*₆), δ, м. ч. (*J*, Гц): 1,39 с (9H, C(CH₃)₃), 5,06 с (2H, CH₂), 6,35 ш. с (2H, NH₂), 6,87 с (1H, H-5), 8,56 с (1H, H-2). ЯМР ¹³C (125 МГц, DMSO-*d*₆), δ, м. ч.: 28,1 (C(CH₃)₃), 43,6 (CH₂N), 82,1 (C(CH₃)₃), 97,4 (CH), 114,2 (C), 140,8 (C), 148,5 (C), 150,9 (CH), 153,3 (C), 158,6 (C=O),

166,7 (C=O). MS, m/z ($I_{\text{відн.}}$, %): 311 [M+H]⁺ (100). Знайдено, %: C 50,31; H 4,92; Cl 11,36; N 17,98. C₁₃H₁₅ClN₄O₃. Розраховано, %: C 50,25; H 4,87; Cl 11,41; N 18,03.

Сполуку **4b** було одержано також іншим методом. До суміші 0,27 г (1 ммоль) альдегіду **2b** та 0,13 г (1 ммоль) гідрохлориду *трет*-бутилового естеру гліцину в 5 мл MeOH додають 0,28 мл (2 ммоль) Et₃N. Реакційну масу перемішують при 20-25 °C протягом 12 год. Осад, що утворився, відфільтровують, перекристалізують з MeCN. Вихід – 0,19 мг (61 %). Проба змішування зразків, отриманих різними методами, не давала депресії температур плавлення.

4,6-Біс(трет-бутоксикарбометил)амінопіримідин-5-карбальдегід (5b). Т. пл. – 108-110 °C (з розкл.). ЯМР ¹H (400 МГц, DMSO-*d*₆), δ, м. ч. (J, Гц): 1,40 с (18H, 2(CH₃)₃), 4,07 д (4H, J = 4,4, 2CH₂), 8,06 с (1H, H-2), 8,96 ш. с (2H, 2NH), 10,13 с (1H, C=OH). ЯМР ¹³C (125 МГц, DMSO-*d*₆), δ, м. ч.: 28,2 (6CH₃), 43,1 (CH₂), 81,1 (2C(CH₃)₃), 95,1 (C), 161,4 (CH), 162,3 (C), 169,4 (C=O), 187,9 (C=OH). MS, m/z ($I_{\text{відн.}}$, %): 367 [M+H]⁺ (100). Знайдено, %: C 55,76; H 7,15; N 15,29. C₁₇H₂₆N₄O₅. Розраховано, %: C 55,73; H 7,15; N 15,29.

Метил (4-алкіламіно-6-аміно-7-оксопіридо[2,3-*d*]піримідин-8(7H)-іл)ацетати 7a, b. До суміші 0,27 г (1 ммоль) метил (6-аміно-4-хлоро-7-оксопіридо[2,3-*d*]піримідин-8(7H)-іл)ацетату **4a** і 1,1 ммоль відповідного аміну в 5 мл MeCN додали 1,1 ммоль Et₃N. Реакційну масу кип'ятили впродовж 3-5 год. Осад, що утворився, відфільтровували і перекристалізували з пропан-2-олу.

Метил [6-аміно-4-(метиламіно)-7-оксопіридо[2,3-*d*]піримідин-8(7H)-іл]ацетат (7a). Вихід – 0,21 г (81 %). Т. пл. – 222-224 °C. ЯМР ¹H (400 МГц, DMSO-*d*₆), δ, м. ч. (J, Гц): 2,93 д (3H, J = 4,4, CH₃), 3,66 с (3H, OCH₃), 5,12 с (2H, CH₂), 5,59 ш. с (2H, NH₂), 6,93 с (1H, H-5), 7,62-7,65 м (1H, NH), 8,18 с (1H, H-2). ЯМР ¹³C (125 МГц, DMSO-*d*₆), δ, м. ч.: 27,9 (CH₃), 42,4 (CH₂N), 52,2 (CH₃O), 98,9 (CH), 99,4 (C), 136,3 (C), 145,8 (C), 152,7 (CH), 157,6 (C), 158,2 (C=O), 168,7 (C=O). MS, m/z ($I_{\text{відн.}}$, %): 264 [M+H]⁺ (100). Знайдено, %: C 50,24; H 4,99; N 26,57. C₁₁H₁₃N₅O₃. Розраховано, %: C 50,19; H 4,98; N 26,60.

Метил (6-аміно-4-морфолін-4-іл-7-оксопіридо[2,3-*d*]піримідин-8(7H)-іл)ацетат (7b). Вихід – 0,25 г (77 %). Т. пл. – 193-195 °C. Спектр ЯМР ¹H (400 МГц, DMSO-*d*₆), δ, м. ч. (J, Гц): 3,42-3,46 м (4H, O(CH₂)₂ – морфолініл), 3,67 с (3H, OCH₃), 3,75-3,80 м (4H, N(CH₂)₂ – морфолініл), 5,15 с (2H, CH₂), 5,80 ш. с (2H, NH₂), 6,80 с (1H, H-5), 8,37 с (1H, H-2). ЯМР ¹³C (125 МГц, DMSO-*d*₆), δ, м. ч.: 47,7 (CH₂N), 54,7

(N(CH₂)₂), 57,4 (OCH₃), 71,2 (O(CH₂)₂), 105,5 (CH), 108,5 (C), 120,2 (C), 142,0 (C), 153,5 (CH), 163,2 (C), 166,3 (C=O), 173,8 (C=O). MS, m/z ($I_{\text{відн.}}$, %): 320 [M+H]⁺ (100). Знайдено, %: C 52,69; H 5,41; N 21,87. C₁₄H₁₇N₅O₄. Розраховано, %: C 52,66; H 5,37; N 21,93.

Метил [6-(ацетиламіно)-4-хлоро-7-оксопіридо[2,3-*d*]піримідин-8(7H)-іл]ацетат (6). Суміш 0,27 г (1 ммоль) піридопіримідину **4a**, 0,14 мл (1,1 ммоль) Et₃N та 0,1 мл (1 ммоль) хлорангідриду оцтової кислоти в 5 мл MeCN та кип'ятять впродовж 2 год. Осад, що утворився, відфільтровують та перекристалізують з пропан-2-олу. Вихід – 0,25 г (82 %). Т. пл. – 174-176 °C. Спектр ЯМР ¹H (400 МГц, DMSO-*d*₆), δ, м. ч. (J, Гц): 2,23 с (3H, CH₃), 3,70 с (3H, OCH₃), 5,21 с (2H, CH₂), 8,84 с (1H, H-2), 8,88 с (1H, H-5), 9,93 ш. с (1H, NH). ЯМР ¹³C (125 МГц, DMSO-*d*₆), δ, м. ч.: 24,6 (CH₃), 43,5 (CH₂N), 53,0 (OCH₃), 112,5 (C), 113,0 (CH), 131,4 (C), 151,0 (C), 155,2 (CH), 157,6 (C), 158,0 (C=O), 168,3 (C=O), 171,3 (C=O). MS, m/z ($I_{\text{відн.}}$, %): 311 [M+H]⁺ (100). Знайдено, %: C 46,42; H 3,60; Cl 11,37; N 17,98. C₁₂H₁₁ClN₄O₄. Розраховано, %: C 46,39; H 3,57; Cl 11,41; N 18,03.

Метил [6-(ацетиламіно)-4-морфолін-4-іл-7-оксопіридо[2,3-*d*]піримідин-8(7H)-іл]ацетат (8). Суміш 0,32 г (1 ммоль) піридопіримідину **7b**, 0,14 мл (1,1 ммоль) Et₃N та 0,1 мл (1 ммоль) хлорангідриду оцтової кислоти в 5 мл MeCN та кип'ятили протягом 3 год. Осад, що утворився, відфільтровували та перекристалізували з пропан-2-олу. Вихід – 0,26 г (72 %). Т. пл. – 217-219 °C. Спектр ЯМР ¹H (400 МГц, DMSO-*d*₆), δ, м. ч. (J, Гц): 2,18 с (3H, CH₃), 3,64-3,69 м (7H, OCH₃, O(CH₂)₂ – морфолініл), 3,75-3,78 м (4H, N(CH₂)₂ – морфолініл), 5,17 с (2H, CH₂), 8,49 с (1H, H-2), 8,77 с (1H, H-5), 9,67 ш. с (1H, NH). ЯМР ¹³C (125 МГц, DMSO-*d*₆), δ, м. ч.: 24,5 (CH₃), 43,2 (CH₂N), 49,9 (N(CH₂)₂), 52,8 (OCH₃), 66,4 (O(CH₂)₂), 100,1 (CH), 116,6 (C), 127,0 (C), 151,5 (C), 155,1 (CH), 158,0 (C), 162,7 (C=O), 168,8 (C=O), 170,7 (C=O). MS, m/z ($I_{\text{відн.}}$, %): 362 [M+H]⁺ (100). Знайдено, %: C 53,21; H 5,32; N 19,33. C₁₆H₁₉N₅O₅. Розраховано, %: C 53,18; H 5,30; N 19,38.

Висновки

Встановлено, що взаємодія 4,6-дихлоропіримідин-5-карбальдегіду з метил- та *трет*-бутилгліцинатами приводить до *N*-(5-формілпіримідин-4-іл)гліцинатів та невідомих раніше похідних піридо[2,3-*d*]піримідину та піридо[2,3-*d*]піримідину. Показано, що похідні 6-аміно-4-хлоропіридо[2,3-*d*]піримідин-7-ону можуть бути перспективними синтонами для подальших синтезів потенційних біологічно активних речовин.

Конфлікт інтересів: відсутній.

Перелік використаних джерел інформації

1. Synthesis of 1,4-disubstituted pyrazolo[3,4-*d*]pyrimidines from 4,6-dichloropyrimidine-5-carboxaldehyde : Insights into selectivity and reactivity / C. Morrill, S. Babu, N. G. Almstead, Y.-C. Moon // Synthesis. – 2013. – Vol. 45, Issue 13. – P. 1791–1806. doi: 10.1055/s-0033-1338862
2. Preparation of 8-aza-7-deazaaristeromycin and -neplanocin A and their 5 \square -homologs / H. Wang, Y. Zhang, W. Ye, S. W. Schneller // J. Heterocycl. Chem. – 2014. – Vol. 52, Issue 4. – P. 1132–1135. doi: 10.1002/jhet.2137

3. Selective synthesis of 1-substituted 4-chloropyrazolo[3,4-d]pyrimidines / S. Babu, C. Morrill, N. G. Almstead, Y.-C. Moon // *Org. Lett.* – 2013. – Vol. 15, Issue 8. – P. 1882–1885. doi: 10.1021/ol4005382
4. Bisarylureas based on 1H-pyrazolo[3,4-d]pyrimidine scaffold as novel Pan-RAF inhibitors with potent anti-proliferative activities : Structure-based design, synthesis, biological evaluation and molecular modelling studies / Y. Fu, Y. Wang, S. Wan et al. // *Molecules.* – 2017. – Vol. 22, Issue 4. – 542 p. doi: 10.3390/molecules22040542
5. Expanding the diversity of allosteric Bcr-Abl inhibitors / X. Deng, B. Okram, Q. Ding et al. // *J. Med. Chem.* – 2010. – Vol. 53, Issue 19. – P. 6934–6946. doi: 10.1021/jm100555f
6. Identification of purines and 7-deazapurines as potent and selective type I inhibitors of Troponin I-Interacting kinase (TNNI3K) / B. G. Lawhorn, J. Philp, Y. Zhao et al. // *J. Med. Chem.* – 2015. – Vol. 58, Issue 18. – P. 7431–7448. doi: 10.1021/acs.jmedchem.5b00931
7. Design, synthesis and evaluation of pyrrolo[2,3-d]pyrimidine-phenylamide hybrids as potent Janus kinase 2 inhibitors / T. Wang, X. Liu, M. Hao et al. // *Bioorg. Med. Chem. Lett.* – 2016. – Vol. 26, Issue 12. – P. 2936–2941. doi: 10.1016/j.bmcl.2016.04.027
8. Synthesis of Janus type nucleoside analogues and their preliminary bioactivity / H. Z. Yang, M. Y. Pan, D. W. Jiang, Y. He // *Org. Biomol. Chem.* – 2011. – Vol. 9, Issue 5. – 1516 p. doi: 10.1039/c0ob00495b
9. Design and synthesis of novel pyrimido[4,5-b]azepine derivatives as HER2/EGFR dual inhibitors / Y. Kawakita, M. Seto, T. Ohashi et al. // *Bioorg. Med. Chem.* – 2013. – Vol. 21, Issue 8. – P. 2250–2261. doi: 10.1016/j.bmc.2013.02.014
10. Synthesis of 7-alkyl-4-amino-7H-pyrrolo-[2,3-d]pyrimidine-6-carboxylic acids / E. V. Verves, A. V. Kucher, L. V. Muzychka, O. B. Smolii // *Chem. Heterocycl. Compd.* – 2013. – Vol. 48, Issue 12. – P. 1844–1852. doi: 10.1007/s10593-013-1218-0
11. Synthesis of new 4-amino-substituted 7-iminopyrido[2,3-d]pyrimidines / A. N. Zinchenko, L. V. Muzychka, I. I. Biletskii, O. B. Smolii // *Chem. Heterocycl. Compd.* – 2017. – Vol. 53, Issue 5. – P. 589–596. doi: 10.1007/s10593-017-2096-7
12. Synthesis of novel 8,9-dihydro-5H-pyrimido[4,5-e][1,4]diazepin-7(6H)-ones / J. Xiang, D. Wen, H. Xie et al. // *J. Comb. Chem.* – 2010. – Vol. 12, Issue 4. – P. 503–509. doi: 10.1021/cc100039w
13. Investigating molecular dynamics-guided lead optimization of EGFR inhibitors / M. J. Lavecchia, R. P. Bellacasa et al. // *Bioorg. Med. Chem.* – 2016. – Vol. 24, Issue 4. – P. 768–778. doi: 10.1016/j.bmc.2015.12.046
14. Oxopyrido[2,3-d]pyrimidines as covalent L858R/T790M mutant selective Epidermal Growth Factor Receptor (EGFR) inhibitors / R. P. Wurzb, L. H. Pettus, K. Ashton et al. // *ACS Med. Chem. Lett.* – 2015. – Vol. 6, Issue 9. – P. 987–992. doi: 10.1021/acsmedchemlett.5b00193
15. C5-substituted pyrido[2,3-d]pyrimidin-7-ones as highly specific kinase inhibitors targeting the clinical resistance-related EGFR^{T790M} mutant / T. Xu, T. Peng, X. Ren et al. // *Med. Chem. Commun.* – 2015. – Vol. 6, Issue 9. – P. 1693–1697. doi: 10.1039/C5MD00208G
16. A structure-guided optimization of pyrido[2,3-d]pyrimidin-7-ones as selective inhibitors of EGFR^{L858R/T790M} mutant with improved pharmacokinetic properties / L. Yu, M. Huang, T. Xu et al. // *Eur. J. Med. Chem.* – 2017. – Vol. 126. – P. 1107–1117. doi: 10.1016/j.ejmech.2016.12.006
17. Discovery of a Potent and Selective Inhibitor of Cyclin-Dependent Kinase 4/6 / P. L. Toogood, P. J. Harvey, J. T. Repine et al. // *J. Med. Chem.* – 2005. – Vol. 48, Issue 7. – P. 2388–2406. doi: 10.1021/jm049354h
18. Discovery of 8-Cyclopentyl-2-[4-(4-methyl-piperazin-1-yl)-phenylamino]-7-oxo-7,8-dihydro-pyrido[2,3-d]pyrimidine-6-carbonitrile (7x) as a Potent Inhibitor of Cyclin-Dependent Kinase 4 (CDK4) and AMPK-Related Kinase 5 (ARKS) / M. V. R. Reddy, B. Akula, S. C. Cosenza et al. // *J. Med. Chem.* – 2014. – Vol. 57, Issue 3. – P. 578–599. doi: 10.1021/jm401073p
19. Chemically diverse Group I p21-activated kinase (PAK) inhibitors impart acute cardiovascular toxicity with a narrow therapeutic window / J. Rudolph, L. J. Murray, C. O. Ndubaku et al. // *J. Med. Chem.* – 2016. – Vol. 59, Issue 11. – P. 5520–5541. doi: 10.1021/acs.jmedchem.6b00638
20. Design, synthesis and biological evaluation of pyrido[2,3-d]pyrimidin-7-(8H)-ones as HCV inhibitors / M. Camarasa, R. Puig de la Bellacasa, À. L. González et al. // *Eur. J. Med. Chem.* – 2016. – Vol. 115. – P. 463–483. doi: 10.1016/j.ejmech.2016.03.055
21. Novel compounds reducing IRS-1 serine phosphorylation for treatment of diabetes / L. Simon-Szabó, M. Kokas, Z. Greff et al. // *Bioorg. Med. Chem. Lett.* – 2016. – Vol. 26, Issue 2. – P. 424–428. doi: 10.1016/j.bmcl.2015.11.099
22. Structure-based design, SAR analysis and antitumor activity of PI3K/mTOR dual inhibitors from 4-methylpyridopyrimidinone series / H. Cheng, J. E. Hoffman, P. T. Le et al. // *Bioorg. Med. Chem. Lett.* – 2013. – Vol. 23, Issue 9. – P. 2787–2792. doi: 10.1016/j.bmcl.2013.02.020
23. 4-Amino-2-arylamino-6-(2,6-dichlorophenyl)-pyrido[2,3-d]pyrimidin-7-(8H)-ones as BCR kinase inhibitors for B lymphoid malignancies / R. Puig de la Bellacasa, G. Roué, P. Balsas et al. // *Eur. J. Med. Chem.* – 2014. – Vol. 86. – P. 664–675. doi: 10.1016/j.ejmech.2014.09.018
24. Synthesis and biological evaluation of novel amino-substituted derivatives of pyrido[2,3-d]pyrimidine as inhibitors of protein kinase CK2 / A. N. Zinchenko, L. V. Muzychka, O. B. Smolii et al. // *Biopolym. Cell.* – 2017. – Vol. 33, Issue 5. – P. 367–378. doi: 10.7124/bc.000960

References

1. Morrill, C., Babu, S., Almstead, N. G., Moon, Y.-C. (2013). Synthesis of 1,4-disubstituted pyrazolo[3,4-d]pyrimidines from 4,6-dichloropyrimidine-5-carboxaldehyde: Insights into selectivity and reactivity. *Synthesis*, 45 (13), 1791–1806. doi: 10.1055/s-0033-1338862
2. Wang, H., Zhang, Y., Ye, W., Schneller, S. W. (2014). Preparation of 8-Aza-7-deazaaristeromycin and -neplanocin A and Their 5^H-Homologs. *Journal of Heterocyclic Chemistry*, 52 (4), 1132–1135. doi: 10.1002/jhet.2137
3. Babu, S., Morrill, C., Almstead, N. G., Moon, Y.-C. (2013). Selective Synthesis of 1-Substituted 4-Chloropyrazolo[3,4-d]pyrimidines. *Organic Letters*, 15 (8), 1882–1885. doi: 10.1021/ol4005382
4. Fu, Y., Wang, Y., Wan, S., Li, Z., Wang, G., Zhang, J., Wu, X. (2017). Bisarylureas Based on 1H-Pyrazolo[3,4-d]pyrimidine Scaffold as Novel Pan-RAF Inhibitors with Potent Anti-Proliferative Activities: Structure-Based Design, Synthesis, Biological Evaluation and Molecular Modelling Studies. *Molecules*, 22 (4), 542. doi: 10.3390/molecules22040542
5. Deng, X., Okram, B., Ding, Q., Zhang, J., Choi, Y., Adrián, F. J., Gray, N. S. (2010). Expanding the Diversity of Allosteric Bcr-Abl Inhibitors. *Journal of Medicinal Chemistry*, 53 (19), 6934–6946. doi: 10.1021/jm100555f
6. Lawhorn, B. G., Philp, J., Zhao, Y., Louer, C., Hammond, M., Cheung, M., Kallander, L. S. (2015). Identification of Purines and 7-Deazapurines as Potent and Selective Type I Inhibitors of Troponin I-Interacting Kinase (TNNI3K). *Journal of Medicinal Chemistry*, 58 (18), 7431–7448. doi: 10.1021/acs.jmedchem.5b00931
7. Wang, T., Liu, X., Hao, M., Qiao, J., Ju, C., Xue, L., Zhang, C. (2016). Design, synthesis and evaluation of pyrrolo[2,3-d]pyrimidine-phenylamide hybrids as potent Janus kinase 2 inhibitors. *Bioorganic & Medicinal Chemistry Letters*, 26 (12), 2936–2941. doi: 10.1016/j.bmcl.2016.04.027
8. Yang, H.-Z., Pan, M.-Y., Jiang, D.-W., He, Y. (2011). Synthesis of Janus type nucleoside analogues and their preliminary bioactivity. *Organic & Biomolecular Chemistry*, 9 (5), 1516. doi: 10.1039/c0ob00495b
9. Kawakita, Y., Seto, M., Ohashi, T., Tamura, T., Yusa, T., Miki, H., Ishikawa, T. (2013). Design and synthesis of novel pyrimido[4,5-b]azepine derivatives as HER2/EGFR dual inhibitors. *Bioorganic & Medicinal Chemistry*, 21 (8), 2250–2261. doi: 10.1016/j.bmc.2013.02.014
10. Verves, E. V., Kucher, A. V., Muzychka, L. V., Smolii, O. B. (2013). Synthesis of 7-alkyl-4-amino-7H-pyrrolo-[2,3-d]pyrimidine-6-carboxylic acids. *Chemistry of Heterocyclic Compounds*, 48 (12), 1844–1852. doi: 10.1007/s10593-013-1218-0
11. Zinchenko, A. N., Muzychka, L. V., Biletskii, I. I., Smolii, O. B. (2017). Synthesis of new 4-amino-substituted 7-iminopyrido[2,3-d]pyrimidines. *Chemistry of Heterocyclic Compounds*, 53 (5), 589–596. doi: 10.1007/s10593-017-2096-7
12. Xiang, J., Wen, D., Xie, H., Dang, Q., Bai, X. (2010). Synthesis of Novel 8,9-Dihydro-5H-pyrimido[4,5-e][1,4]diazepin-7(6H)-ones. *Journal of Combinatorial Chemistry*, 12 (4), 503–509. doi: 10.1021/cc100039w

13. Lavecchia, M. J., Puig de la Bellacasa, R., Borrell, J. I., Cavasotto, C. N. (2016). Investigating molecular dynamics-guided lead optimization of EGFR inhibitors. *Bioorganic & Medicinal Chemistry*, 24 (4), 768–778. doi: 10.1016/j.bmc.2015.12.046
14. Wurz, R. P., Pettus, L. H., Ashton, K., Brown, J., Chen, J. J., Herberich, B., Tasker, A. S. (2015). Oxopyrido[2,3-d]pyrimidines as Covalent L858R/T790M Mutant Selective Epidermal Growth Factor Receptor (EGFR) Inhibitors. *ACS Medicinal Chemistry Letters*, 6 (9), 987–992. doi: 10.1021/acsmchemlett.5b00193
15. Xu, T., Peng, T., Ren, X., Zhang, L., Yu, L., Luo, J., Ding, K. (2015). C5-substituted pyrido[2,3-d]pyrimidin-7-ones as highly specific kinase inhibitors targeting the clinical resistance-related EGFR T790M mutant. *MedChemComm*, 6 (9), 1693–1697. doi: 10.1039/c5md00208g
16. Yu, L., Huang, M., Xu, T., Tong, L., Yan, X., Zhang, Z., Lu, X. (2017). A structure-guided optimization of pyrido[2,3-d]pyrimidin-7-ones as selective inhibitors of EGFR L858R/T790M mutant with improved pharmacokinetic properties. *European Journal of Medicinal Chemistry*, 126, 1107–1117. doi: 10.1016/j.ejmech.2016.12.006
17. Toogood, P. L., Harvey, P. J., Repine, J. T., Sheehan, D. J., VanderWel, S. N., Zhou, H., Fry, D. W. (2005). Discovery of a Potent and Selective Inhibitor of Cyclin-Dependent Kinase 4/6. *Journal of Medicinal Chemistry*, 48 (7), 2388–2406. doi: 10.1021/jm049354h
18. Reddy, M. V. R., Akula, B., Cosenza, S. C., Athuluridivakar, S., Mallireddigari, M. R., Pallela, V. R., Reddy, E. P. (2014). Discovery of 8-Cyclopentyl-2-[4-(4-methyl-piperazin-1-yl)-phenylamino]-7-oxo-7,8-dihydro-pyrido[2,3-d]pyrimidine-6-carbonitrile (7x) as a Potent Inhibitor of Cyclin-Dependent Kinase 4 (CDK4) and AMPK-Related Kinase 5 (ARK5). *Journal of Medicinal Chemistry*, 57 (3), 578–599. doi: 10.1021/jm401073p
19. Rudolph, J., Murray, L. J., Ndubaku, C. O., O'Brien, T., Blackwood, E., Wang, W., Zhong, Y. (2016). Chemically Diverse Group I p21-Activated Kinase (PAK) Inhibitors Impart Acute Cardiovascular Toxicity with a Narrow Therapeutic Window. *Journal of Medicinal Chemistry*, 59 (11), 5520–5541. doi: 10.1021/acs.jmedchem.6b00638
20. Camarasa, M., Puig de la Bellacasa, R., González, À. L., Ondoño, R., Estrada, R., Franco, S., Borrell, J. I. (2016). Design, synthesis and biological evaluation of pyrido[2,3-d]pyrimidin-7-(8H)-ones as HCV inhibitors. *European Journal of Medicinal Chemistry*, 115, 463–483. doi: 10.1016/j.ejmech.2016.03.055
21. Simon-Szabó, L., Kokas, M., Greff, Z., Boros, S., Bánhegyi, P., Zsákai, L., Kéri, G. (2016). Novel compounds reducing IRS-1 serine phosphorylation for treatment of diabetes. *Bioorganic & Medicinal Chemistry Letters*, 26 (2), 424–428. doi: 10.1016/j.bmcl.2015.11.099
22. Cheng, H., Hoffman, J. E., Le, P. T., Pairish, M., Kania, R., Farrell, W., Rahavendran, S. V. (2013). Structure-based design, SAR analysis and antitumor activity of PI3K/mTOR dual inhibitors from 4-methylpyridopyrimidinone series. *Bioorganic & Medicinal Chemistry Letters*, 23 (9), 2787–2792. doi: 10.1016/j.bmcl.2013.02.020
23. Puig de la Bellacasa, R., Roué, G., Balsas, P., Pérez-Galán, P., Teixidó, J., Colomer, D., Borrell, J. I. (2014). 4-Amino-2-arylamino-6-(2,6-dichlorophenyl)-pyrido[2,3-d]pyrimidin-7-(8H)-ones as BCR kinase inhibitors for B lymphoid malignancies. *European Journal of Medicinal Chemistry*, 86, 664–675. doi: 10.1016/j.ejmech.2014.09.018
24. Zinchenko, A. N., Muzychka, L. V., Smolii, O. B., Bdzhola, V. G., Protopopov, M. V., Yarmoluk, S. M. (2017). Synthesis and biological evaluation of novel amino-substituted derivatives of pyrido[2,3-d]pyrimidine as inhibitors of protein kinase CK2. *Biopolymers and Cell*, 33 (5), 367–378. doi: 10.7124/bc.000960

Надійшла до редакції 06.02.2018 р.